

К УСТОЙЧИВОСТИ РАВНОВЕСИЯ
УПРУГО-ВЯЗКО-ПЛАСТИЧЕСКОЙ СРЕДЫ

А. Н. Спорыхин

(Воронеж)

Обсуждается устойчивость упруго-пластической среды, когда одна часть тела находится в упругом, а другая — в пластическом состоянии.

На устойчивость деформирования упруго-вязко-пластической упрочняющейся среды обобщаются результаты, полученные в [1] в предположении, что все тело находится в пластическом состоянии.

Линеаризованные соотношения применяются для изучения устойчивости толстостенных труб при плоской деформации под действием внутреннего давления для различных случаев поведения нагрузки как «следящей», так и «мертвой» при малых отклонениях тела от невозмущенного равновесия.

Аналогичная задача в квазистатической постановке для трубы из упрочняющегося идеально пластического материала и по теории малых упруго-пластических деформаций рассматривалось в [2].

1. Рассмотрим невозмущенное равновесие упрочняющегося упруго-вязко-пластического тела объема V , характеризуемое вектором перемещений $u_i^\circ(x_k, t)$, тензором напряжений $\sigma_{ij}^\circ(x_k, t)$, векторами объемных и поверхностных сил F_i° и p_i° , и пусть $x_i(\zeta, t)$ есть поверхность, разделяющая области упругого и пластического состояний среды.

Исследование устойчивости равновесия тела объема V сводится к решению уравнений в вариациях и соответствующих граничных условий [3], которые в рассматриваемом случае имеют вид

$$(\sigma_{ij}^+ + \sigma_{jk}^\circ u_{i,k}^+),_j + F_i^+ - \rho u_i^{+\cdot\cdot} = 0, \quad (\sigma_{ij}^+ + \sigma_{jk}^\circ u_{i,k}^+) n_j^+ = p_i^+ \quad (1.1)$$

Компоненты характеристик возмущенного движения отмечены знаком плюс.

На упруго-пластической границе напряжения и перемещения непрерывны. Отсюда

$$[\sigma_{ij}^+ + \sigma_{ij,k}^\circ x_k^+] v_j = 0, \quad [u_i^+ + u_{i,k}^\circ x_k^+] = 0 \quad (i, j = 1, 2) \quad (1.2)$$

Здесь квадратные скобки означают разность соответствующих величин. Определяющие вариационные соотношения могут быть записаны в виде следующих зависимостей [4]:

а) в пластической зоне

$$[2\mu\sigma_{ij}^+ - \frac{2}{3}\mu(3\lambda + 2\mu)e_{kk}^+\delta_{ij} - c(\lambda e_{kk}^+\delta_{ij} + 2\mu e_{ij}^+ - \sigma_{ij}^+) - \eta(\lambda e_{kk}^+\delta_{ij} + 2\mu e_{ij}^+ - \sigma_{ij}^+)](s_{ij}^\circ - ce_{ij}^{\circ p} - \eta e_{ij}^{\circ p}) = 0 \quad (1.3)$$

$$(1 + \eta\psi_0)(\lambda e_{kk}^+\delta_{ij} + 2\mu e_{ij}^+ - \sigma_{ij}^+) + c\psi_0(\lambda e_{kk}^+\delta_{ij} + 2\mu e_{ij}^+ - \sigma_{ij}^+) = \\ = k^{-2}(\lambda e_{nn}^+\delta_{kl} + 2\mu e_{kl}^+ - \sigma_{kl}^+)(s_{kl}^\circ - ce_{kl}^{\circ p} - \eta e_{kl}^{\circ p})(s_{ij}^\circ - ce_{ij}^{\circ p} - \eta e_{ij}^{\circ p}) + \\ + \psi_0(2\mu\sigma_{ij}^+ - \frac{2}{3}\mu(3\lambda + 2\mu)e_{kk}^+\delta_{ij})$$

б) в упругой зоне

$$\sigma_{ij}^+ = \lambda e_{kk}^+\delta_{ij} + 2\mu e_{ij}^+ \quad (1.4)$$

Здесь деформации связаны с перемещениями по формулам

$$e_{ij} = 1/2(u_{i,j} + u_{j,i} + u_{k,i}u_{k,j} + u_{k,j}u_{k,i}) \quad (1.5)$$

Применяя методику, развитую в п. 2—4 работы [1], можно аналогичным образом свести краевую задачу (1.1) — (1.5) к исследованию системы дифференциальных уравнений с постоянными коэффициентами.

При этом уравнения равновесия и граничные условия на поверхности (1.1) приводятся к уравнениям

$$(\sum_{ij} + \sigma_{jk}U_{i,k})_{,j} + F_i + \rho\omega^2 U_i = 0, \quad (\sum_{ij} + \sigma_{jk}U_{i,k})n_j = p_i \quad (1.6)$$

В дальнейшем индекс p будет обозначать величины, относящиеся к пластической области, e — упругой.

Из (1.3) получим

$$\sum_{ij}^p = \lambda E_{kk} \delta_{ij} + 2\mu E_{ij} - \frac{4\mu^2}{k^2(2\mu + c + s\eta)} (E_{kl} - 1/3 E_{mm} \delta_{kl})(s_{kl} - ce_{kl}^p) \times \\ \times (s_{ij} - ce_{ij}^p), \quad s = i\omega \quad (1.7)$$

В упругой области имеют место соотношения

$$\sum_{ij}^e = \lambda E_{kk} \delta_{ij} + 2\mu E_{ij} \quad (1.8)$$

При этом из (1.5) получим

$$E_{ij} = 1/2(U_{i,j} + U_{j,i} + u_{k,i}U_{k,j} + u_{k,j}U_{k,i}) \quad (1.9)$$

Условия (1.2) принимают вид

$$[\sum_{ij} + \sigma_{ij,k}X_k] = 0, \quad [U_i + u_{i,k}X_k] = 0 \quad (1.10)$$

2. Рассмотрим трубу радиусов r_1 и r_2 , находящуюся под действием внутреннего давления p .

Известно [3], что характер поведения нагрузки при малых отклонениях тела от невозмущенного равновесия может оказать существенное влияние на устойчивость (неустойчивость).

В отличие от [2], где принято, что в результате малых возмущений нагрузка не изменяет свое направление, рассмотрим случай следящей нагрузки. В этом случае правая часть второго уравнения (1.6) имеет вид

$$p_i = p_j^\circ U_{i,j} \quad (2.1)$$

Напряженное и деформируемое состояние трубы из упрочняющегося упруго-вязко-пластического материала при плоской деформации до потери устойчивости определяется выражениями

$$\sigma_r^p = -p_0 + (2 + c_0)^{-1} [4k_0 \ln(r/\alpha) - c_0 C (r^{-2} - \alpha^{-2})] \quad (2.2) \\ \sigma_\theta^p = -p_0 + (2 + c_0)^{-1} [4k_0 (1 + \ln(r/\alpha)) + c_0 C (r^{-2} + \alpha^{-2})], \quad \sigma_{r\theta}^p = 0 \\ e_r^p = (k_0 r^2 - C) / r^2 (2 + c_0), \quad e_\theta^p = -(k_0 r^2 - C) / r^2 (2 + c_0), \quad e_{r\theta}^p = 0 \\ \sigma_r^e = C(1 - r^{-2}), \quad \sigma_\theta^e = C(1 + r^{-2}), \quad \sigma_{r\theta}^e = 0, \quad u^\circ = C/r, \quad C = k_0 \gamma^2, \\ \alpha = r_1 | r_2$$

где r — текущий безразмерный радиус, причем здесь и в дальнейшем все величины, имеющие размерность длины, отнесены к внешнему радиусу r_2 , а величины, имеющие размерность напряжения, отнесены к модулю сдвига μ и им приписан нуль внизу.

Радиус упруго-пластической границы γ удовлетворяет уравнению

$$\gamma^2 (1 - c_0 / (2 + c_0) \alpha^2) = 4 \ln (\gamma / \alpha) / (2 + c_0) - p_0 / k_0 + 1 \quad (2.3)$$

Отметим, что давление, при котором вся труба приходит в пластическое состояние, определяется выражением

$$P = - (2 + c_0)^{-1} (4 \ln \alpha - c_0 / \alpha^2)$$

Уравнения равновесия (1.6) для компонент возмущения (1.7), (1.8) в случае плоской формы потери устойчивости могут быть представлены в виде

$$\sum_{r,r} + r^{-1} \sum_{r\theta,\theta} + r^{-1} (\sum_r - \sum_\theta) + (\sigma_r^\circ U_{r,r})_{,r} + r^{-1} (r^{-1} U_{r,\theta\theta} - 2r^{-1} U_{\theta,\theta} + U_{r,r} - r^{-1} U_r) \sigma_\theta^\circ + \rho_0 \omega^2 U_r = 0 \quad (2.4)$$

$$\sum_{r\theta,r} + r^{-1} \sum_{\theta,\theta} + 2r^{-1} \sum_{r\theta} + (\sigma_r^\circ U_{\theta,r})_{,r} + r^{-1} (r^{-1} U_{\theta,\theta\theta} + 2r^{-1} U_{r,\theta} + U_{\theta,r}) + \rho_0 \omega^2 U_\theta = 0, \quad \rho_0 = \rho r_2^2 / \mu$$

Из условия (1.6) с учетом (2.4) получим

$$\sum_r = 0, \quad \sum_{r\theta} = 0 \quad \text{при } r = 1, r = \alpha \quad (2.5)$$

Условия на упруго-пластической границе (1.10)

$$[U_r] = 0, \quad [U_\theta] = 0, \quad [\sum_r] = 0, \quad [\sum_{r\theta}] = 0 \quad \text{при } r = \gamma \quad (2.6)$$

Для несжимаемого материала в рассматриваемом случае зависимости (1.7) принимают вид

$$S_r^p = 2U_{r,r}^p + a_0 [r^{-1} (U_r^p + U_{\theta,\theta}^p) - U_{r,r}^p] \quad (2.7)$$

$$S_\theta^p = 2r^{-1} (U_r^p + U_{\theta,\theta}^p) - a_0 [r^{-1} (U_r^p + U_{\theta,\theta}^p) - U_{r,r}^p]$$

$$\sum_{r,\theta}^p = r^{-1} U_{r,\theta}^p + U_{\theta,r}^p - r^{-1} U_\theta^p, \quad a_0 = 4 / (2 + c_0 + i\omega\tau)$$

Соответственно, из (1.8) для упругой области $\gamma \leq r \leq 1$ получим

$$S_r^e = 2U_{r,r}^e, \quad S_\theta^e = 2r^{-1} (U_r^e + U_{\theta,\theta}^e), \quad \sum_{r,\theta}^e = r^{-1} U_{r,\theta}^e + U_{\theta,r}^e - r^{-1} U_\theta^e \quad (2.8)$$

Решение в области $\alpha \leq r \leq \gamma$ будем искать в виде

$$U_r^p = \varphi_1(r) \cos m\theta, \quad U_\theta^p = \varphi_2(r) \sin m\theta \quad (2.9)$$

После подстановки (2.9) в уравнении равновесия (1.6), учитывая при этом связь между напряжениями и деформациями (2.7), а также условие несжимаемости, можно получить дифференциальное уравнение относительно функции $\varphi_1(r)$

$$\begin{aligned} & r^4 (1 + \sigma_r^p) \varphi_1^{(IV)} + r^3 [6 + \sigma_\theta^p + 5\sigma_r^p + 2r\sigma_{r,r}^p] \varphi_1^{(III)} + \\ & + r^2 [5 - 2m^2 (1 - 2a_0) + (3 - m^2)(\sigma_r^p + \sigma_\theta^p) + r(r\sigma_{r,r}^p + \\ & + 7\sigma_{r,r}^p + r\rho_0\omega^2)] \varphi_1^{(II)} + r [-1 - 2m^2 (1 + \sigma_\theta^p) + \\ & + r(2 - m^2)\sigma_{r,r}^p + 2r^2\sigma_{r,rr}^p + 3r^2\rho_0\omega^2] \varphi_1^{(I)} + \\ & + [1 - 2m^2 + m^4 + m^2(m^2 - 2)\sigma_\theta^p + r^2(1 - m^2)\rho_0\omega^2] \varphi_1 = 0 \end{aligned} \quad (2.10)$$

Аналогично будем искать решение в области $\gamma \leq r \leq 1$ в форме

$$U_r^e = f_1(r) \cos m\theta, \quad U_\theta^e = f_2(r) \sin m\theta \quad (2.11)$$

Аналогичным путем, что и для уравнения (2.10), для функции $f_1(r)$ получаем

$$\begin{aligned} & r^4(1 + \sigma_r^{e_0}) f_1^{(IV)} + r^3[6 + \sigma_\theta^{e_0} + 5\sigma_r^{e_0} + 2r\sigma_{r,r}^{e_0}] f_1^{(III)} + \quad (2.12) \\ & + r^2[5 - 2m^2 + (3 - m^2)(\sigma_r^{e_0} + \sigma_\theta^{e_0}) + r(r\rho_0\omega^2 + 7\sigma_{r,r}^{e_0} + r\sigma_{r,rr}^{e_0})] f_1^{(II)} + \\ & + r[-1 - 2m^2(1 + \sigma_\theta^{e_0}) + 3r^2\rho_0\omega^2 + r(2 - m^2)\sigma_{r,r}^{e_0} + 2r^2\sigma_{r,rr}^{e_0}] f_1^{(I)} + \\ & + [1 + m^2(m^2 - 2)(1 - \sigma_\theta^{e_0}) + r^2(1 - m^2)\rho_0\omega^2] f_1 = 0 \end{aligned}$$

В (2.10) и (2.12) напряжения σ_r^0 , σ_θ^0 и их производные определяются формулами (2.2).

Полагая в уравнениях равновесия (1.6) члены, содержащие внешнюю нагрузку, малыми, т. е. не принимая во внимание различие между геометрией начального, невозмущенного состояния, устойчивость которого исследуется, и геометрией других, близких к нему состояний, а также полагая $m = 1$, что соответствует первой критической силе, из (2.10) и (2.12) получаем упрощенные уравнения (2.13)

$$\begin{aligned} & r^3\varphi_1^{(IV)} + 6r^2\varphi_1^{(III)} + r(3 + 4a_0 + \rho_0\omega^2r^2)\varphi_1^{(II)} + (-3 + 4a_0 + 3\rho_0\omega^2r^2)\varphi_1^{(I)} = 0 \\ & r^3f_1^{(IV)} + 6r^2f_1^{(III)} + r(3 + \rho_0\omega^2r^2)f_1^{(II)} + (-3 + 3\rho_0\omega^2r^2)f_1^{(I)} = 0 \quad (2.14) \end{aligned}$$

Из уравнений (2.4), (2.7), (2.8), (2.9), (2.11), учитывая, что материал трубы несжимаемый, в рассматриваемом случае получим следующие зависимости;

$$\text{а) в пластической зоне} \quad (2.15)$$

$$\begin{aligned} \sum_r^p &= -[r^2\varphi_1^{(III)} + 4r\varphi_1^{(II)} + (-2 + 4a_0 + \rho_0\omega^2r^2)\varphi_1^{(I)} + \rho_0\omega^2r\varphi_1] \cos \theta + K^p \\ \sum_\theta^p &= -[r^2\varphi_1^{(III)} + 4r\varphi_1^{(II)} + (2 + \rho_0\omega^2r^2)\varphi_1^{(I)} + \rho_0\omega^2r\varphi_1] \cos \theta + K^p \\ \sum_{r\theta}^p &= -(r\varphi_1^{(II)} + \varphi_1^{(I)}) \sin \theta \end{aligned}$$

$$\text{б) в упругой зоне}$$

$$\begin{aligned} \sum_r^e &= -[r^2f_1^{(III)} + 4rf_1^{(II)} + (-2 + \rho_0\omega^2r^2)f_1^{(I)} + \rho_0\omega^2rf_1] \cos \theta + K^e \quad (2.16) \\ \sum_\theta^e &= -[r^2f_1^{(III)} + 4rf_1^{(II)} + (2 + \rho_0\omega^2r^2)f_1^{(I)} + \rho_0\omega^2rf_1] \cos \theta + K^e \\ \sum_{r\theta}^e &= -(rf_1^{(II)} + f_1^{(I)}) \sin \theta \end{aligned}$$

где K^p и K^e определяются из граничных условий

$$\begin{aligned} \cos \theta [\alpha^2\varphi_1^{(III)} + \alpha(6 - 4a_0 - \rho_0\omega^2\alpha^2)\varphi_1^{(II)} + \rho_0\omega^2\alpha\varphi_1] &= K^{(p)} \text{ при } r = \alpha \\ \cos \theta [f_1^{(III)} + (6 - \rho_0\omega^2)f_1^{(II)} + \rho_0\omega^2f_1] &= K^e \text{ при } r = 1 \quad (2.17) \end{aligned}$$

Граничные условия (2.5) совместно с (2.15), (2.16) дают

$$\varphi_1^{(I)} + \alpha\varphi_1^{(II)} = 0 \text{ при } r = \alpha, \quad f_1^{(I)} + f_1^{(II)} = 0 \text{ при } r = 1 \quad (2.18)$$

Из (2.6), (2.15), (2.16) получим, что при $r = \gamma$

$$\begin{aligned} f_1 &= \varphi_1, \quad f_1^{(I)} = \varphi_1^{(I)}, \quad f_1^{(II)} = \varphi_1^{(II)} \quad (2.19) \\ \cos \theta [\gamma^2(\varphi_1^{(III)} - f_1^{(III)}) + 4a_0\varphi_1^{(II)}] + K^e - K^p &= 0 \end{aligned}$$

Решение уравнений (2.13) и (2.14) может быть найдено в виде

$$\varphi_1 = \left[\ln r + \sum_{n=1}^{\infty} \frac{1}{2n} M_0 r^{2n} \right] A_1 + \left[\frac{r^k}{k} + \sum_{n=1}^{\infty} \frac{r^{2n+k}}{2n+k} M_{-k} \right] A_2 + \\ + \left[\frac{r^{-k}}{k} + \sum_{n=1}^{\infty} \frac{r^{2n-k}}{2n-k} M_k \right] A_3 + A_4 \quad (2.20)$$

$$f_1 = (rb)^{-1} [I_3(r\sqrt{b}) - 4(r\sqrt{b})^{-1} I_2(r\sqrt{b})] C_1 + \\ + (rb)^{-1} [Y_3(r\sqrt{b}) - 4(r\sqrt{b})^{-1} Y_2(r\sqrt{b})] C_2 + r^{-2} C_3 + C_4 \quad (2.21)$$

$$M_k = \frac{(-1)^n b^n (n-k/2)!}{\prod_{l=1}^n [(al-3-ak/2) + (2l-1-k)(l-1-k/2)(2l+3-k)]}, \quad b = \rho_0 \omega^2$$

$$k = 2\sqrt{1-a_0}, \quad a = 3 + 4a_0, \quad M_k = M_{-k} \text{ при } k = -k, \quad M_k = M_0 \text{ при } k=0$$

Здесь I_ν, Y_ν , ($\nu = 2, 3$) — бесселевы функции первого и второго рода, C_i и A_i ($i = 1, \dots, 4$) — постоянные интегрирования.

Подстановка (2.20), (2.21) в (2.18), (2.19) дает линейную однородную систему алгебраических уравнений относительно шести произвольных постоянных. Так как в случае потери устойчивости эта система должна иметь ненулевое решение, то ее определитель должен быть равен нулю

$$|a_{ik}| = 0 \quad (i, k = 1, 2, \dots, 6) \quad (2.22)$$

Здесь

$$a_{11} = \frac{1 + \sqrt{b}}{\sqrt{b}} I_2(\sqrt{b}) - I_3(\sqrt{b}), \quad a_{21} = \frac{1}{\gamma} \left[I_3(\gamma\sqrt{b}) - \frac{4}{\gamma\sqrt{b}} I_2(\gamma\sqrt{b}) \right] \\ a_{31} = 0, \quad a_{41} = I_2(\gamma\sqrt{b}), \quad a_{51} = \frac{1}{\sqrt{b}} I_2(\gamma\sqrt{b}) - \gamma I_3(\gamma\sqrt{b}) \quad (2.23)$$

$$a_{61} = \gamma[(b-3)I_3(\sqrt{b}) + (b-2-4\sqrt{b})I_2(\sqrt{b})] - \gamma^2 \left[I_3(\gamma\sqrt{b}) - \frac{4}{\gamma\sqrt{b}} I_2(\gamma\sqrt{b}) \right]$$

$$a_{13} = 4, \quad a_{23} = \gamma^{-2}, \quad a_{33} = 0, \quad a_{43} = -2\gamma^{-2}, \quad a_{53} = 6\gamma^{-2}, \quad a_{63} = \gamma(4-b) + 24\gamma^{-2}$$

$$a_{16} = 0, \quad a_{26} = - \left[-\frac{1}{k} \gamma^{-k} + \sum_{n=1}^{\infty} \frac{1}{2n-k} M_k \gamma^{2n-k} \right]$$

$$a_{36} = -\frac{k}{\alpha^k} + \sum_{n=1}^{\infty} (2n-k) M_k \alpha^{2n-k}, \quad a_{46} = - \left[\gamma^{-k} + \sum_{n=1}^{\infty} M_k \gamma^{2n-k} \right]$$

$$a_{56} = \frac{k+1}{\gamma^k} - \sum_{n=1}^{\infty} (2n-k-1) M_k \gamma^{2n-k}, \quad a_{66} = -\frac{\gamma}{\alpha} \left\{ [(k+1)(k+2) - \right.$$

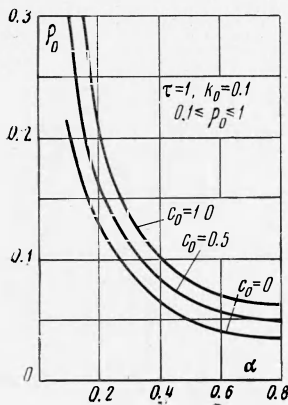
$$\left. -4(k+1) + (-2 + 4a_0 + b\alpha^2) - \frac{b\alpha^2}{k} \right] \frac{1}{\alpha^k} + \sum_{n=1}^{\infty} R_k M_k \alpha^{2n-k} \left. \right\} +$$

$$+ 4a_0 \left[\gamma^{-k} + \sum_{n=1}^{\infty} M_k \gamma^{2n-k} \right] + (k+1)(k+2) \gamma^{-k} +$$

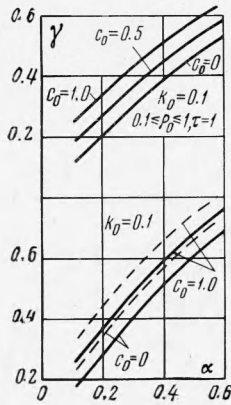
$$+ \sum_{n=1}^{\infty} (2n-k-1)(2n-k-2) M_k \gamma^{2n-k}$$

$$a_{24} = - \left[\ln \gamma + \sum_{n=1}^{\infty} \frac{1}{2n} M_0 \gamma^{2n} \right], \quad a_{64} = - \gamma \left[-4 + 4a_0 + b\alpha^2 (1 + \ln \alpha) + \right. \\ \left. + \sum_{n=1}^{\infty} R_0 M_0 \alpha^{2n} \right] \alpha^{-1} + 4a_0 \left[1 + \sum_{n=1}^{\infty} M_0 \gamma^{2n} \right] + \sum_{n=1}^{\infty} (2n-1)(2n-2) M_0 \gamma^{2n} + 2 \\ R_k = -2 + 4a_0 + b\alpha^2 + b\alpha^2 / (2n - k) + (2n - k - 1)(2n - k + 2)$$

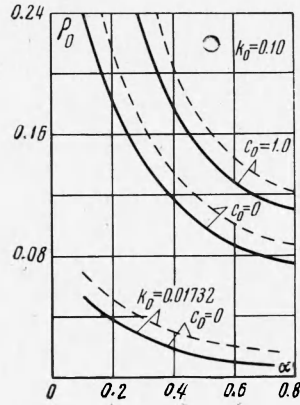
Далее заметим, что элементы второго столбца определителя совпадают с соответствующими элементами первого столбца, если в последних бесселеву функцию первого рода I , заменить на бесселеву функцию второго рода Y . Элементы пятого столбца могут быть получены из элементов



Фиг. 1



Фиг. 2



Фиг. 3

шестого, если в последних формально k заменить на $-k$, и, наконец, элементы четвертого столбца получим из элементов пятого при $k = 0$, за исключением элементов a_{24} и a_{64} , которые указаны выше. На фиг. 1 представлена зависимость критического давления p_0 от α при $0.1 \leq \rho_0 \leq 1$, $0 \leq c_0 \leq 1$, $k_0 = 0.1$ и $\tau = 1$. Величина упруго-пластической границы γ , соответствующая критической нагрузке p_0 , при тех же значениях ρ_0 , c_0 , k_0 и τ показана на фиг. 2, а. Заметим, что при уменьшении k_0 величина критического давления уменьшается, что следует из (2.3), так как $p_0 = k_0 \{ \dots \}$, и построение p_0 от α при $0 < k_0 < 1$ сделать нетрудно.

Предположение, что потеря устойчивости может происходить по типу статической неустойчивости, приводит к существенным упрощениям.

Не приводя промежуточных вычислений, укажем лишь, что уравнение для определения критического давления получим после раскрытия определителя (2.22), который в данном случае имеет следующие элементы:

$$a_{11} = \ln \gamma, \quad a_{21} = 1, \quad a_{31} = -1, \quad a_{41} = -2(1 + 2\gamma), \quad a_{51} = a_{61} = 0 \quad (2.24) \\ a_{12} = \gamma^2, \quad a_{22} = a_{32} = 2\gamma^2, \quad a_{42} = -12\gamma, \quad a_{52} = 0, \quad a_{62} = 1 \\ a_{13} = \gamma^{-2}, \quad a_{23} = -2\gamma^{-2}, \quad a_{33} = 6\gamma^{-2}, \quad a_{43} = -12\gamma(1 - 2\gamma), \quad a_{53} = 0, \quad a_{63} = 1 \\ a_{14} = -\ln \gamma, \quad a_{24} = -1, \quad a_{34} = 1, \quad a_{44} = 2[1 + 2a_0(1 - \gamma\alpha^{-1}) + 2\gamma\alpha^{-1}] \\ a_{54} = a_{64} = 0, \quad a_{15} = -\sin(k \ln \gamma), \quad a_{25} = -k \cos(k \ln \gamma)$$

!

$$\begin{aligned}
 a_{35} &= k(k \sin k \ln \gamma + \cos k \ln \gamma), & a_{45} &= 3k^2 (\sin k \ln \gamma - \gamma \alpha^{-1} \sin k \cdot \\
 &\cdot \ln \alpha) + k(2 - k^2 + 4a_0) (\cos k \ln \gamma - \gamma \alpha^{-1} \cos k \ln \alpha) + 6k\gamma \alpha^{-1} \cos k \ln \alpha \\
 a_{55} &= \sin k \ln \alpha, & a_{65} &= 0, & a_{16} &= -\cos k \ln \gamma \\
 a_{26} &= k \sin k \ln \gamma, & a_{36} &= k(k \cos k \ln \gamma - \sin k \ln \gamma) \\
 a_{46} &= 3k^2 (\cos k \ln \gamma - \gamma \alpha^{-1} \cos k \ln \alpha) - k(2 - k^2 + 4a_0) (\sin k \ln \gamma - \\
 &- \gamma \alpha^{-1} \sin k \ln \alpha) - 6k\gamma \alpha^{-1} \sin k \ln \alpha, & a_{56} &= \cos k \ln \alpha, & a_{66} &= 0
 \end{aligned}$$

Рассмотрение статической задачи, соответствующей системе (2.4) с консервативными граничными условиями (1.6), приводит к определителю, элементы которого совпадают с (2.24), за исключением

$$\begin{aligned}
 a_{44} &= 2 + 4a_0(1 - \gamma \alpha^{-1}) + (4 - p_0) \gamma \alpha^{-1}, & a_{54} &= -p_0 \\
 a_{45} &= 3k^2 (\sin k \ln \gamma - \gamma \alpha^{-1} \sin k \ln \alpha) + k(2 - k^2 + 4a_0) (\cos k \ln \gamma - \\
 &- \gamma \alpha^{-1} \cos k \ln \alpha) + (6 - p_0) k \gamma \alpha^{-1} \cos k \ln \alpha & (2.25) \\
 a_{55} &= (1 + p_0) k^2 \sin k \ln \alpha - p_0 k \cos k \ln \alpha, & a_{46} &= 3k^2 (\cos k \ln \gamma - \\
 &- \gamma \alpha^{-1} \cos k \ln \alpha) - k(2 - k^2 + 4a_0) (\sin k \ln \gamma - \gamma \alpha^{-1} \sin k \ln \alpha) - \\
 &- (6 - p_0) k \gamma \alpha^{-1} \sin k \ln \alpha \\
 a_{56} &= (1 + p_0) k^2 \cos k \ln \alpha + p_0 k \sin k \ln \alpha
 \end{aligned}$$

На фиг. 3 даны графики зависимости критических значений p_0 и γ от α для уравнения (2.22) с коэффициентами (2.25) (сплошные линии) и (2.22) с элементами (2.24) (пунктирные линии).

Как видно из фиг. 2, б и 3, величина критической силы, вычисленная при консервативных граничных условиях, незначительно меньше, чем при неконсервативных граничных условиях.

Сравнение с [2] (при $k_0 = 0.01732$ и $c_0 = 0$) показывает, что величина γ несколько меньше, чем в [2].

Из фиг. 1 и 3 следует, что наличие вязкости при пластических деформациях уменьшает величину критической силы, т. е. вязкость дестабилизирует трубу.

Все вычисления, связанные с построением графиков, проведены на ЭВМ М-20.

Поступила 22 X 1968

ЛИТЕРАТУРА

1. С п о р ы х и н А. Н., Об устойчивости деформирования упруго-вязко-пластических тел. ПМТФ, 1967, № 4.
2. Е р ш о в Л. В., И в л е в Д. Д. О выпучивании толстостенной трубы, находящейся под действием внутреннего давления. Изв. АН СССР, ОТН, 1957, № 8.
3. Б о л о т и н В. В. Неконсервативные задачи теории упругой устойчивости М., Физматгиз, 1961.